

VIDA UNIVERSITARIA

LABORATORIO DE CLINICA

**Trabajos ejecutados en los meses
de Octubre, Noviembre y Diciembre**

EXAMENES COPROLOGICOS -116

Resultados:

ÁREA HISTÓRICA
DEL CENTRO DE INFORMACIÓN INTEGRAL

1. Huevos de áscaris canis.
2. Huevos de áscaris canis y lumbricoides.
3. Huevos de tricocéfalo y quistes de ameba coli común.
4. Quistes de ameba, variedad histolítica y glóbulos rojos.
5. Huevos de áscaris lumbricoides.
6. Huevos de anquilostoma, tricocéfalo y áscaris lumbricoides.
7. Quistes de ameba, variedad histolítica y glóbulos rojos.
8. Amebas, variedad histolítica y glóbulos rojos.
9. Huevos de anquilostoma, tricocéfalo y áscaris lumbricoides.
10. No se encontró parásitos ni huevos de parásitos.
11. Huevos de anquilostoma y tricocéfalo.

12. Huevos de tricocéfalo.
13. Huevos de áscaris lumbricoides.
14. No se encontró parásitos ni huevos de parásitos.
15. Huevos de tenia y quistes de ameba coli-común.
16. Quistes de ameba coli común.
17. No se encontró parásitos ni huevos de parásitos.
18. Quistes de ameb. , variedades histolítica y tetrágena y glóbulos rojos.
19. Huevos de áscaris canis.
20. Amebas, variedad histolítica y glóbulos rojos.
21. Amebas, variedad histolítica y glóbulos rojos.
22. Quistes de ameba coli-común.
23. No se encontró parásitos ni huevos de parásitos.
24. Amebas, variedad histolítica y glóbulos rojos.
25. Huevos de áscaris canis.
26. No se encontró parásitos ni huevos de parásitos.
27. Huevos de áscaris canis y lumbricoides.
28. Quistes de ameba coli-comuni, cercomonas y glóbulos rojos.
29. Amebas, variedad histolítica, huevos de tricocéfalo y globulos rojos.
30. Huevos de áscaris canis, lumbricoides. y tricocéfalo.
31. Huevos de áscaris lumbricoides.
32. Quiste de ameba coli-común.
33. No se encontró parásitos ni huevos de parásitos.
34. Huevos de tricocéfalo y quistes de ameba coli-común.
35. No se encontró parásitos ni huevos de parásitos.
36. Amebas, variedades histolítica y tetrágena y glóbulos rojos.
37. Huevos de áscaris canis y lumbricoides.
38. No se encontró parásitos ni huevos de parásitos.
39. Huevos de tricocéfalo y áscaris canis.
40. Quistis de amebas coli-común y cercomonas.
41. Huevos de anquilostoma y áscaris lumbricoides.

42. No se encontró parásitos ni huevos de parásitos.
43. No se encontró parásitos ni huevos de parásitos.
44. Huevos de tricocéfalo.
45. Huevos de tricocéfalo, anquilostoma, áscaris lumbricoides, amebas, variedad histolítica y glóbulos rojos.
46. Huevos de anquilostoma, áscaris y tricocéfalo.
47. Huevos de tricocéfalo.
48. Huevos de áscaris lumbricoides.
49. Huevos de anquilostoma y glóbulos rojos.
50. No se encontró parásitos ni huevos de parásitos.
51. Quistes de ameba, variedad histolítica y glóbulos rojos.
52. Huevos de áscaris canis y de tricocéfalo.
53. Balantidium coli y glóbulos rojos.
54. Huevos de anquilostoma.
55. Huevos de anquilostoma.
56. Huevos de áscaris canis y lumbricoides.
57. No se encontró parásitos ni huevos de parásitos.
58. Huevos de tricocéfalo.
59. No se encontró parásitos ni huevos de parásitos.
60. Quistes de ameba, variedades histolítica y tetrágena y glóbulos rojos.
61. Huevos de áscaris lumbricoides.
62. Anguilulas estercoralis.
62. Quistes de ameba coli común.
63. Huevos de tenia y quistes de ameba coli-común.
64. No se encontró parásitos ni huevos de parásitos.
65. Huevos de tricocéfalo.
66. Huevos de tricocéfalo y áscaris lumbricoides.
67. No se encontró parásitos ni huevos de parásitos.
70. Huevos de áscaris canis, lumbricoides y de tricocéfalo.
71. Quistes de ameba coli común.
72. Quistes de ameba histolítica y glóbulos rojos.
73. Amebas, variedad histolítica y glóbulos rojos.

74. Amebas, variedad histolítica, cercomonas y glóbulos rojos.
75. No se encontró parásitos ni huevos de parásitos.
76. Quistes de ameba coli-común.
77. No se encontró parásitos ni huevos de parásitos.
78. Quistes de ameba histolítica y glóbulos rojos.
79. Huevos de anquilostoma, tricocéfalo y ascaris lumbricoides.
80. Quiste de ameba coli-común y cercomonas.
81. Quiste de ameba histolítica y glóbulos rojos.
82. Huevos de ascaris lumbricoides, amebas, variedad histolítica y glóbulos rojos.
83. Quiste de ameba histolítica y glóbulos rojos.
84. Ameba variedad histolítica, huevos de áscaris canis y glóbulos rojos.
85. Quiste de ameba histolítica, cercomonas y glóbulos rojos.
86. Amebas, variedades histolítica, tetrágena y glóbulos rojos.
87. No se encontró parásitos ni huevos de parásitos.
88. Quistes de ameba coli-común y glóbulos rojos.
89. Quistes de ameba histolítica y glóbulos rojos.
90. Huevos de áscaris canis, lumbricoides y tricocéfalo.
91. Amebas, variedad histolítica y glóbulos rojos.
92. No se encontró parásitos ni huevos de parásitos.
93. Abundantes cercomonas.
94. Amebas, variedad histolítica y glóbulos rojos.
95. Huevos de áscaris canis y lumbricoides.
96. Quistes de ameba histolítica, cercomonas y glóbulos rojos.
97. Huevos de áscaris lumbricoides.
98. No se encontró parásitos ni huevos de parásitos.
99. Quistes de ameba histolítica, cercomonas y glóbulos rojos.
100. No se encontró parásitos ni huevos de parásitos.
101. Huevos de anquilostoma, tricocéfalo y áscaris lumbricoides.

102. Huevos de áscaris canis, tricocéfalo y áscaris lumbricoides.
103. Huevos de áscaris lumbricoides.
105. Quistes de ameba coli-común y glóbulos rojos.
105. No se encontró parásitos ni huevos de parásitos.
106. Quistes de ameba histolitica y glóbulos rojos.
107. Huevos de oxiuros vermicularis y de tricocéfalo.
108. Quiste de ameba histolitica, cercomonas y glóbulos rojos.
109. Huevos de tricocéfalo y áscaris canis.
110. Huevos de tricocéfalo y anquilostoma.
111. Quiste de ameba tetragena, coli común y glóbulos rojos.
112. Huevos de áscaris canis, lumbricoides y tricocéfalo, Quiste de ameba coli común y cercomonas,
113. Huevos de áscaris canis y lumbricoides.
114. Huevos de tricocéfalo y anquilostoma.
115. Huevos de áscaris canis.
116. Quistes de ameba coli-común y glóbulos rojos.

Reacción de Weber en las deposiciones—6

Resultados:

1. Positiva.
2. Negativa.
3. Negativa.
4. Positiva.
5. Positiva.
6. Positiva.

Exámenes de orinas—37

Resultados:

- 1.—Volumen en 24 h.—700 c. c.
- Densidad.—1018.
- Albúmina.—0
- Azúcar.—V. N.
- Cloruros.—8,25 p. l.—5,77 en 24 h.
- Urea.—13,26 p. l.—1,28 en 24 h.

Exámen microscópico: Células epiteliales de las capas superficiales de la vejiga y glóbulos blancos.

2.—Volumen en 24 h.—900 c. c.

Densidad.—1.022.

Albúmina.—Disco mediano.

Azúcar.—0.

Cloruros.—10,15 p. l.—9,13 en 24 h.

Urea.—17,50 p. l.—15,75 en 25 h.

Exámenes microscópico: Células epiteliales del riñón y de las capas superficiales de la vejiga. Raios leucocitos.

3.—Albúmina.—0.

Azúcar.—Vestigios.

4.—Volumen en 24 h.—1.200 c. c.

Densidad.—1.018.

Albúmina.—Vestigios.

Azúcar.—0.

Cloruros.—7,50 p. l.—9 en 25 h.

Urea.—18,40 p. l.—21,08 en 24 h.

Ex microscópico: Células epiteliales de la vejiga y vejiga, cristales de oxalato de cal.

5.—Volumen en 24 h.—2.000 c. c.

Densidad.—1.012.

Albúmina.—Disco mediano.

Azúcar.—Vesgio.

Cloruros.—1,87 p. l. 3, 74, en 24 h.

Urea.—16,40 p. l.—31,80 en 24 h.

Ex microscópico: Células epiteliales del riñón y de la vejiga, algunos leucocitos y hematies.

6.—Volumen en 24 h.—1.500 c. c.

Densidad.—1.020.

Albúmina.—Disco mediano.

Azúcar.—0.

Cloruros.—2,06.

Urea.

Ex microscópico: Células epiteliales de las capas superficiales de la vejiga. Cristales de fosfato amónico-magnesiano.

7.—Volumen en 24 horas,—300 c. c.

Densidad 15°.—1.012.

Albúmina.—0.

Azúcar.—0.

Cloruros.—8,50 p. l.—2,55 en 24 h.

Urea.—15,20 p. l.—4,56 en 24 h.

Ex microscópico: Células epiteliales de las capas superficiales de la vejiga y glóbulos blancos.

8. — Volumen en 24 h. — 1.300 c. c.

Densidad. — 1.016.

Albúmina. — 0.

Azúcar. — 0.

Cloruros. — 4,38 p. l. — 5,69 en 24 h.

Urea. — 11,40 p. l. — 15,82 en 24 h.

Ex microscópico: Raras células vaginales; cristales de oxalato de cal.

9. — Volumen en 24 h. — 600 c. c.

Densidad. — 1.022.

Albúmina. — Vestigios.

Azúcar. — Vestigios.

Cloruros. — 10,53 p. l. — 6,01 en 24 h.

Urea. — 18,80 p. l. — 11,28 en 24 h.

Ex microscópico: Células epiteliales de la vejiga. Cristales de fosfato y carbonato de cal.

10. — Albúmina. — 0.

Azúcar. — 0.

Acidos biliares. — Presencia.

Pigmentos biliares. — Presencia.

Urobilina. — Presencia.

Urea. — 12,40 p. l.

11. — Volumen en 24 h. — 300 c. c.

Densidad. — 1.020.

Albúmina. — Disco mediano.

Cloruros. — 5,50 p. l. — 1,65 en 24 h.

Urea. — 12,20 p. l. — 3,66 en 24 h.

12. — Volumen en 24 h. — 1.000 c. c.

Densidad. — 1.018.

Albúmina. — 0.

Azúcar. — 0.

Cloruros. — 7,89 p. l. — 7,89 en 14 h.

Urea. — 18,32 p. l. — 18,32 en 24 h.

Ex microscópico: Células vaginales. Algunas tricomonas vaginales.

13. — Volumen en 24 h. — 1.000 c. c.

Densidad. — 1.014.

Albúmina. — 0.

Azúcar. — 0.

Cloruros. — 8,50 p. l. — 8,50 en 24 h.

Urea. — 18,20 p. l. — 18,20 en 24 h.

Ex microscópico. Raras células epiteliales de la vejiga.

- 14.—Albúmina.—0.
Azúcar.—0.
- 15.—Albúmina.—0.
Azúcar. 0.
Acidos biliares.—0.
Pigmentos biliares.—0.
Urobilina.—0.
Indoxilo.—Exceso.
Acetona.—0.
Escatol.—Exceso.
- 16.—Albúmina.—0.
Azúcar.—0.
Cloruros.—7,64 p. l.
Urea.—15,20 p. l.
Ex microscópico: Algunas células epiteliales de la vejiga. Cristales de fosfato amónico-magnésiano.
- 18.—Volúmen en 24 h.—200 c. c.
Albúmina. - D. grueso.
Azúcar.—0.
Cloruros. - 4,68 p. l. - 0,92 en 24 h.
Urea, - 14,50 p. l. - 2,90 en 24 h.
Ex microscópico: Abundantes células epiteliales del riñón. Cilindros hialinos y glóbulos blancos.
- 19.—Albúmina.—0.
Azúcar.—5.
- 20.—Volumen.—350 c. c.
Densidad.—1.030.
Albúmina.—0.
Azúcar.—Presencia.
Cloruros.—8,19 p. l.—4,15 en 24 h.
Urea.—2,86 p. l.—1,00 en 24 h.
Ex microscópico: Células renales y glóbulos blancos.
- 21.—Albúmina.—0.
Azúcar. Vestigios.
- 22.—Volumen.—400 c. c.
Albúmina.—0.
Cloruros.—6,54 p. l.—2,61 en 24 h.
Urea.—18,40 p. l.—7,36 en 24 h.
Ex microscópico: Algunas células epiteliales del riñón, vejiga y glóbulos blancos.
- 23.—Albúmina.—0.
Azúcar.—0.
- 24.—Albúmina.—D. grueso.
Azúcar.—0.

25.—Volumen.—2.000 c. c.

Densidad.—1.018.

Albúmina.—0.

Azúcar.—0.

Cloruros.—8,54 p. l.—10,08 en 24 h.

Urea.—18,90 p. l.—37,80 en 24 h.

Ex microscópico: Células del riñón y vejiga.

26.—Albúmina.—0.

Azúcar.—0.

Acido biliares.—0.

Pigmentos biliares.—0.

Urobilina. 0.

Indoxilo.—Exceso.

Acetona.—0.

Escatol.—0.

27.—Albúmina.—0.

Azúcar.—0.

Cloruros.—6,54 p. l.

Urea. 18,90 p. l.

Ex microscópico: Cristales de fosfato amónico-magnésiano y oxalato de cal.

28.—Volumen.—800 c. c.

Densidad.—108.

Albúmina.—0.

Azúcar.—0.

Cloruros.—3,80 p. l.—3 en 24 h.

Urea.—15,20 p. l.—12,40 en 24 h.

Fosfato.—1,20 p. l.—1,08 en 24 h.

Ex microscópico: Raras células renales; algunos glóbulos blancos.

29.—Cloruros.—7,25 p. l.

Urea.—18,40 p. l.

Ex microscópico: Algunas células epiteliales del riñón y vejiga. Abundantes tricomonas vaginales.

30.—Volumen en 24 h.—500 c. c.

Densidad.—1.028.

Albúmina.—D. mediano.

Azúcar.—Presencia.

Cloruros.—1,75 p. l.—0,87 en 24 h.

Urea.—31,60.—15,80 en 24 h.

Acido úrico y cuerpos xánticos.—0,96 p. l.—0,48 en 24 h.

Fosfatos.—1,56 p. l.—0,87 en 24 h.

Ex microscópico: Cilindros granulados y hialinos,

cristales de carbonato de cal, células epiteliales del riñón, vagina y uretra; glóbulos blancos.

31.—Volumen.—900 c. c.

Densidad.—1.012.

Albúmina.—0.

Azúcar.—0.

Cloruros.—2,69 p. l.—2,43 en 24 h.

Urea.—7,02 p. l.—6,40 en 24 h.

Ex microscópico: Raras células epiteliales del riñón y vejiga. Algunos glóbulos blancos.

32.—Albúmina.—D. grueso.

Azúcar.—Vestigios.

33.—Volumen en 24 h.—600 c. c.

Densidad.—1.018.

Albúmina.—D. mediano.

Azúcar.—V. normales.

Cloruros.—6,31 p. l.—3,78 en 24 h.

Urea.—15,50 p. l.—9,30 en 24 h.

34.—Volumen en 24 h.—500 c. c.

Densidad.—1.010.

Albúmina.—0.

Azúcar.—0.

Cloruros.—10,20 p. l.—5,10 en 24 h.

Urea.—5,50 p. l.—7,28 en 24 h.

Ex microscópico: Algunas células epiteliales del riñón y vejiga. Raros glóbulos blancos y rojos.

35. Albúmina.—0.

Azúcar.—Vestigios normales.

Cloruros.—7,80 p. l.

Urea.—18,50 p. l.

Ex microscopio: Raras células epiteliales de las capas superficiales de la vejiga; algunas células renales y cilindros hialinos.

36.—Volumen en 24 h.—1.200 c. c.

Densidad.—1.014.

Albúmina.—0.

Azúcar.—0.

Cloruros.—8,07 p. l.—9,10 en 24 h.

Urea.—10,80 p. l.—12,96 en 24 h.

Fosfatos.—0,70 p. l.—0,90 en 24 h.

Indoxilo.—Exceso.

Escatol.—Ligero exceso.

37.—Albúmina.—D. mediano.

Azúcar.—0.

Reacción de Weber en las orinas—3

Resultados:

- 1.—Positiva.
- 2.—Negativa.
- 3.—Negativa.

Investigación del B. de Koch en las orinas—2

Resultados:

- 1.—Negativa.
- 2.—Positiva.

Investigación del gonococo en las orinas—4

Resultados:

- 1.—Positiva.
- 2.—Negativa.
- 3.—Negativa.
- 4.—Negativa.

Citología de líquido céfalo-raquídeo—3

Resultados:

- 1.—Abundantes leucocitos, en su totalidad linfocitos.
- 2.—Raros linfocitos.
- 3.—Ausencia de elementos figurados.

Examen bacteriológico de líquido pleural—1

Resultados:

- 1.—Abundantes estreptococos y polinucleares. Después de cultivo: Brote puro de estreptococos.

Citología de líquido ascítico—1

Resultados:

- 1.—Abundantes glóbulos blancos, en su totalidad polinucleares. Algunas células epiteliales del peritóneo.



ÁREA HISTÓRICA
DEL CENTRO DE INFORMACIÓN INTEGRAL

Investigación del B. de Koch en los esputos—15

Resultados:

- 1.—Numerosos B. de Koch.
- 2.—No se encontró B. de Koch.
- 3.—No se encontró B. de Koch.
- 4.—No se encontró B. de Koch.
- 5.—Numerosos B. de Koch.
- 6.—No se encontró B. de Koch.
- 7.—No se encontró B. de Koch.
- 8.—Algunos B. de Koch.
- 9.—No se encontró B. de Koch.
- 10.—No se encontró B. de Koch. Numerosos cristales de Charcot-Leyden.
- 11.—No se encontró B. de Koch.
- 12.—Numerosos B. de Koch.
- 13.—Numerosos B. de Koch.
- 14.—Numerosos B. de Koch.
- 15.—No se encontró B. de Koch.

Numeración de glóbulos rojos—4

Resultados:

- 1.—5'500.000 por m m³
- 2.—4'750,000 " "
- 3.—6'340.000 " "
- 4.—4'495.000 " "

Numeración de glóbulos blancos—3

Resultados:

- 1.—11.156 por m m³
- 2.— 7.130 " "
- 3.— 7.453 " "

Dosificación de hemoglobina—4

Resultados:

- 1.—75 %
- 2.—82 "
- 3.—91 "
- 4.—72 "

Fórmulas leucocitarias—6

Resultados:

1.—Polinucleares neutrófilos.....	17 %
Polinucleares basófilos.....	00 "
Polinucleares cosmófilos.....	00 "
Grandes mononucleares.....	53 "
Linfocitos.....	30 "
Glóbulos rojos normales	
Parásitos.—0.	
2.—Polinucleares neutrófilos.....	64,5 %
Polinucleares basófilos.....	00 "
Polinucleares eosinófilos.....	00 "
Grandes mononucleares.....	26 "
Linfocitos.....	8,5 "
Formas de transición.....	1 "
Glóbulos rojos normales	
Parásitos.—0.	
3.—Polinucleares neutrófilos.....	83 %
Polinucleares basófilos.....	00 "
Polinucleares eosinófilos.....	00 "
Grandes mononucleares.....	2 "
Linfocitos.....	14,6 "
Glóbulos rojos normales	
Parásitos.—0.	
4.—Polinucleares neutrófilos.....	95,7 %
Polinucleares basófilos.....	00 "
Polinucleares eosinófilos.....	00 "
Grandes mononucleares.....	0,3 "
Linfocitos.....	4,0 "
Formas de transición.....	00 "
Parásitos.—0.	
5.—Polinucleares neutrófilos.....	70 %
Polinucleares basófilos.....	00 "
Polinucleares eosinófilos.....	0,5 "
Grandes mononucleares.....	13,0 "
Linfocitos.....	16,0 "
Formas de transición.....	0,5 "
Glóbulos rojos normales	
Parásitos.—0.	
6.—Polinucleares neutrófilos.....	76,5 %
Polinucleares basófilos.....	00 "
Polinucleares eosinófilos.....	00 "
Grandes mononucleares.....	9,0 "

Linfocitos	13,5	''
Formas de transición	2,0	''
Glóbulos rojos normales		
Parásitos.—0.		

Investigación del H. de Laverán

Resultados:

- 1.—No se encontró.—Glóbulos rojos normales.
- 2.—No se encontró.—Glóbulos rojos normales.
- 3.—No se encontró.—Ligera poikilosis.
- 4.—No se encontró.—Glóbulos rojos normales.
- 5.—Numerosos H. de Laverán (*Plasmodium falci-
parum*). Poikilosis. Ligera anisosis.
- 6.—No se encontró.—Glóbulos rojos normales.
- 7.—No se encontró.—Glóbulos rojos normales.
- 8.—No se encontró.—Glóbulos rojos normales.
- 9.—(Al ultramicroscopio).—Numerosas macroga-
metas.
- 10.—(Al ultramicroscopio).—Numerosas macroga-
metas. Algunos esporozoitos.

Dosificación de úrea en la sangre—6

Resultados:

- 1.—0,90 por litro.
- 2.—1,05 '' ''
- 3.—0,30 '' ''
- 4.—0,35 '' ''
- 5.—0,74 '' ''
- 6.—1,02 '' ''

Reacción de Landan (Sifilis)

Resultados:

- 1.—Francamente positiva.
- 2.—Francamente positiva.
- 3.—Francamente negativa.
- 4.—Ligeramente positiva.
- 5.—Ligeramente positiva.
- 6.—Francamente positiva.
- 7.—Francamente positiva.
- 8.—Francamente negativa.

*Investigación de la espiroqueta pálida de S. en exudado
chancrosos, al ultramicroscopio*

Resultados:

- 1.—Numerosas espiroquetas de S.
- 2.—Negativa.
- 3.—(Por punción ganglionar).—Negativa.

Análisis de jugo gástrico—4

Resultados:

1.—Acidez total.—0,66 p. l.

H. Cl. libre.—Presencia.

Acido láctico.—0.

Acido acético.—0.

Acido butírico.—Presencia.

2.—Acidez total.—0,43 p. l.

H. Cl. libre.—Vestigios.

Acido butirico.—Presencia.

Acido láctico.—0.

Acido acético.—0.

3.—En ayunas:

Acidez total,—0,27 p. l.

H. Cl. libre.—0.

Acido láctico.—0.

Acido butirico.—0.

Después de la comida de prueba:

Acidez total.—1,12 p. l.

H. Cl. libre.—Presencia.

Acido láctico.—0.

Acido acético.—0.

Acido butirico.—0.

4.—Acidez total.—0,76 p. l.

H. Cl. libre.—Presencia.

Acido láctico.—0.

Acido acético.—0.

Acido butírico.—Presencia.

*Investigación del Gonococo en el pus uretral
y vaginal—5*

Resultados:

- 1.—Positiva.
- 2.—Positiva.
- 3.—No se encontró.
- 4.—No se encontró.
- 5.—Positiva.

Investigación del gonococo en el pus oftálmico—2

- 1.—Positiva.
- 2.—Positiva.

Constante de Ambar—1

Resultados:

- 1.—0,06.



Gabinete de Anatomía Patológica

DIRECTOR DR. LUIS G. DÁVILA

Autopsias practicadas en los meses de Octubre—
Noviembre y Diciembre.

Autopsia N° 1.

A la apertura de la caja torácica, se encuentra un ligero derrame seroso y numerosas adherencias del vértice del pulmón derecho que se desgarran con bastante dificultad.

EXAMEN MACROSCOPICO

Pulmón derecho:

Volumen aumentado, coloración roja intensa en partes y, en otras, aspecto lardáceo determinado por el engrosamiento de la pleura y por la presencia de colga-

jos resultantes de adherencias desgarradas a la extracción del órgano; crepitación abolida, densidad mayor que la del agua.

Al corte, presencia, hacia el vértice, de una enorme caverna antigua que corresponde a la casi totalidad del lóbulo superior; el resto del pulmón pone de manifiesto un considerable número de granulaciones de varios tamaños y aspectos.

Pulmón izquierdo:

Aunque en menor grado, reaparecen los mismos signos macroscópicos observados en el pulmón derecho, tanto a la superficie como al corte.

Corazón:

Volumen pequeño, ligero derrame en el pericardio; las pruebas del agua, dan una grosera idea del buen funcionamiento valvular; al examen de las válvulas, no se observa nada de particular; el aspecto del miocardio es normal.

Aorta:

Elasticidad normal, ausencia de placas ateromatosas

Hígado:

Ligeramente aumentado de volumen; colocación roja amarillenta; superficie lisa. Al corte no se observa nada de especial.

Bazo:

Volumen aumentado; colocación roja oscura; se desgarran con facilidad.

Riñones:

Normales.

EXAMEN MICROSCOPICO

Pulmones:

Granulaciones tuberculosas; neumonía caseosa.

Hígado:

Sobrecarga grasosa muy discreta.

Autopsia N.º 2.

A la apertura de la caja torácica se encuentran todos los órganos en su situación normal, no existen derrame ni adherencias.

EXAMEN MACROSCÓPICO

Pulmón D.

Aumentado de volumen, superficie lisa, coloración blanca-rosada, crepitación disminuida.

Al corte, se desprende una gran cantidad de líquido rosado espumoso, no existe grano neumónico; la densidad está aumentada,

Pulmón I.

Los mismos signos que en el otro pulmón.

Pericardio.

Aspecto normal, pero seccionado se escapa una cantidad de líquido de color citrino que no rebaja de doscientos c. c.

Corazón:

Voluminoso; hay notable dilatación auricular; válvulas normales.

Aorta:

Nada de especial.

Hígado:

Grande; consistencia disminuida, se desgarrá con facilidad; coloración amarillenta, superficie lisa, no hay adherencias.

Riñones:

Muy aumentados de volumen; coloración blanquecina, se decortican bien.

EXAMEN MICROSCOPICO

Pulmones:

Edema pulmonar.

Pericardio:

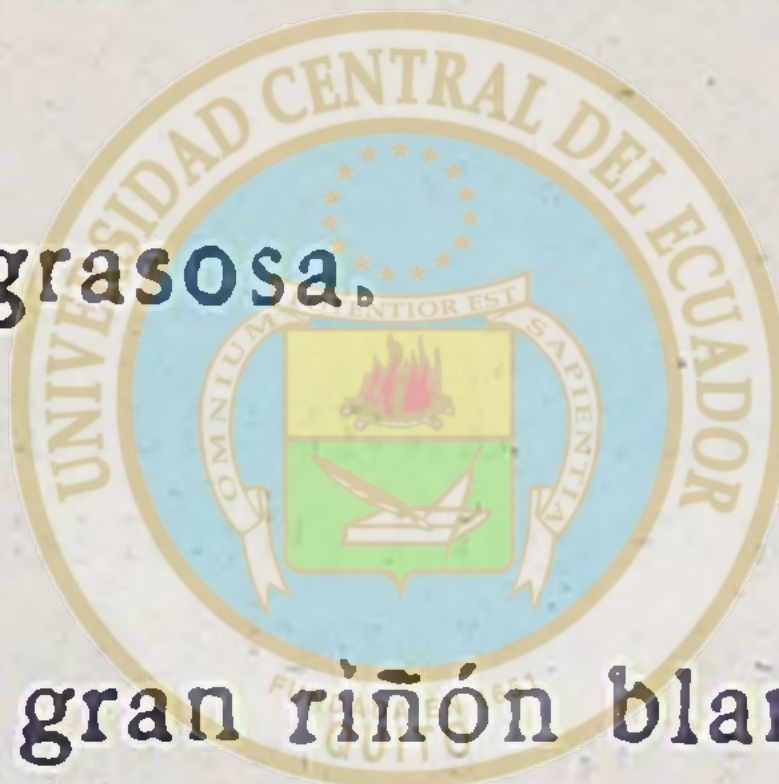
Ligera precipitación de fibrina sobre la cara interna de la hoja parietal.

Higado:

Degeneración grasosa.

Riñones:

Nefritis aguda; gran riñón blanco.



ÁREA HISTÓRICA

DEL CENTRO DE INFORMACIÓN INTEGRAL

Autopsia N° 3.

A la apertura de la caja torácica, se observa un enorme ensanchamiento del espacio mediastinal, debido a la presencia de un tumor voluminoso situado en el mediastino posterior.

En la cavidad abdominal, se encuentra igualmente una masa voluminosa, formada por varias nodulaciones de color blanco amarillento, de consistencia variable, que recubre todo el paquete intestinal.

EXAMEN MACROSCOPICO

Pulmón D:

El ileo se encuentra ocupado por un paquete ganglionar que comprime bronquios y vasos.

El pulmón, propiamente dicho, es de tamaño normal, su coloración es blanquecina, la consistencia disminuida, la crepitación exagerada.

Al corte, se nota un ruido crepitante más acentuado que al estado normal, la presión no permite ver la presencia de ningún líquido.

Pulmón I:

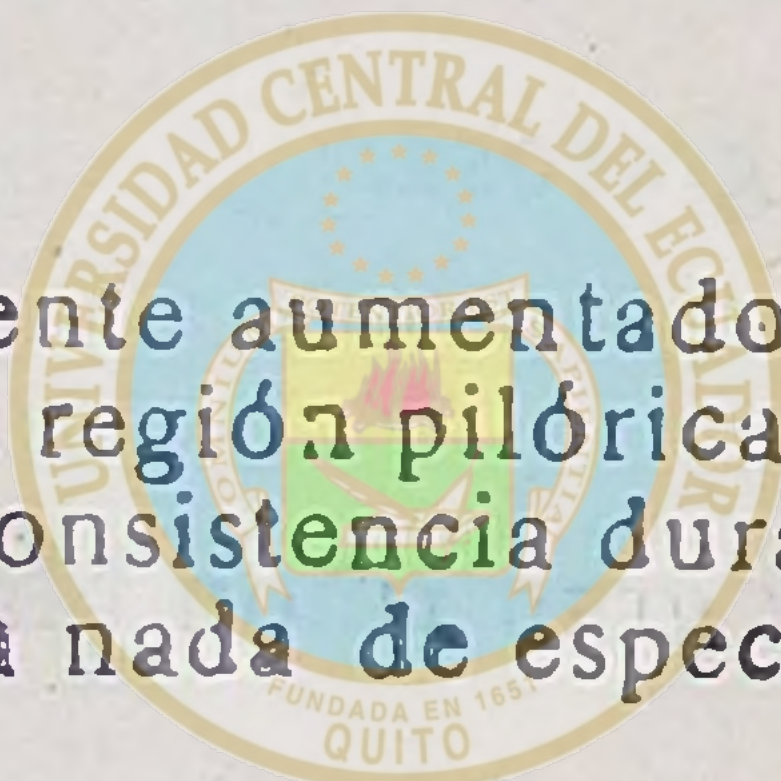
Volumen normal, ligero paquete ganglionar en el íleo; coloración rosada, menos en la base que es blanquecina; superficie lisa; consistencia y densidad normales.

Corazón:

Volumen pequeño; coloración normal, pero se observa la presencia de un considerable número de granulaciones, unas blanquecinas y duras, otras amarillentas y suaves, diseminadas en toda la superficie del pericardio.

Estómago:

Volumen ligeramente aumentado; pared engrosada: 2 ctm. de espesor en la región pilórica; la sección revela un aspecto larcco de consistencia dura. Del lado de la mucosa, no se observa nada de especial.



ÁREA HISTÓRICA
DEL CENTRO DE INFORMACIÓN INTEGRAL

EXAMEN MICROSCOPICO

Tumor mediastinal:

Ganglios tuberculosos.

Pulmón D:

Enfisema generalizado, y tuberculosis granúllica.

Pulmón I:

Tuberculosis granúllica.

Corazón:

Granulia tuberculosa.

Estómago:

Aumento considerable del tejido sub-mucoso, con infiltración de pequeñas células redondas sobre todo al contorno de los vasos. Mucosa indemna.

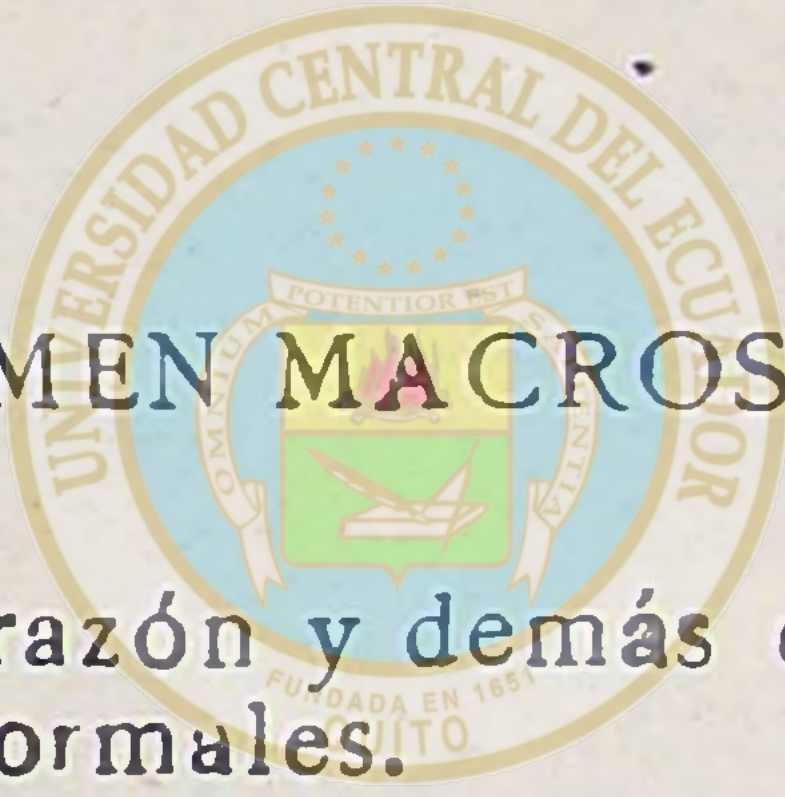
Diagnóstico:

Linites plástica.

Autopsia N°. 4.

A la apertura de la caja torácica se nota que los órganos ocupan su situación normal, no hay derrames ni adherencias.

Abierta la cavidad abdominal, tampoco se observa derrame, pero si algunas adherencias del intestino grueso con el peritoneo, adherencias que se desgarran con mucha facilidad.



EXAMEN MACROSCOPICO

Pulmones, corazón y demás órganos contenidos en la caja torácica normales.

ÁREA HISTÓRICA
DEL CENTRO DE INFORMACIÓN INTEGRAL

Higado:

Aumentado de volumen, coloración roja, superficie lisa; al corte se desprende una regular cantidad de sangre; el órgano es más friable que al estado normal.

Estómago:

Normal.

Intestinos:

Todo el intestino grueso presenta un aspecto tumefacto y se halla sembrado de un considerable número de úlceras de distintos tamaños y formas. Examinada detenidamente una úlcera en especial, se observa que es de reciente formación, por su aspecto rojo intenso; los bordes son tallados a pico, el fondo, que es mucho más grande que la úlcera vista de fuera a dentro, está

ocupado por detritus de tejido necrótico mezclados con una secreción muco purulenta. No existen granulaciones, ni junto a las úlceras, ni del lado mesentérico.

Riñones, Bazo:

Normales.

Testiculos:

El izquierdo guarda el tamaño normal; en cambio, el derecho está muy aumentado de volumen; la superficie es lisa, la consistencia suave; no hay vestigios de fistulas recientes ni antiguas.

EXAMEN MICROSCOPICO

Higado:

Hepatitis aguda,

Intestino:

Úlceras disentéricas producidas por la Ameba histolítica de Schaudinn que abunda en el espesor de la pared intestinal.

Testiculo:

Orqui-epididimitis tuberculosa en plena caseificación; presencia de numerosas células gigantes, hecho bastante frecuente, entre nosotros, en el caso de tuberculosis del testículo; mientras que al nivel del pulmón u otros órganos, los folículos tuberculosis se caracterizan, en la inmensa mayoría de casos, por la ausencia de células gigantes.

Este hecho, de observación corriente no tiene, desde luego, ninguna significación anatómo patológica especial.

Autopsia N° 5.

A la apertura de la caja torácica se encuentra fuertes adherencias del pulmón derecho contra la pared



costal, contra el diafragma y el pericardio. No existe derrame aparente.

No se observa nada de particular en la Cavidad abdominal.

EXAMEN MACROSCOPICO

Pulmón D:

Muy disminuido de volumen, aspecto lardáceo; al corte se observa que la pleura está sumamente engrosada pues mide, más o menos, tres centímetros de espesor. El parénquima pulmonar es duro de color rosado, de trecho en trecho, se encuentran algunas granulaciones antiguas; la densidad está aumentada; un fragmento va al fondo del agua.

Pulmón I:

Ligeras adherencias plurales, al nivel del vértice. Volumen, más bien aumentado, superficie lisa, excepto en el vértice, donde se encuentra un aspecto lardáceo, coloración roja intensa, crepita mal, densidad aumentada. Al corte, se desprende gran cantidad de líquido sanguinolento espumoso; todo el parénquima, está sembrado de granulaciones de distinto tamaño y consistencia.

ÁREA HISTÓRICA
DEL CENTRO DE INFORMACIÓN INTEGRAL

Corazón y Pericardio:

Normales.

Higado:

Nada de especial.

Riñones:

Normales.

Bazo:

Aumentado de volumen; a la superficie se observa un gran número de tubérculos, en su mayor parte, en estado de caseificación; igual aspecto, presenta, al corte, todo el parenquima esplénico.

Intestino:

Todo el mesenterio se halla cubierto de granulaciones de aspecto amarillento y suaves. No existen úlceras intestinales.

Testículos:

El izquierdo es normal.

El derecho está aumentado de volumen, duro en partes, suave en otras; la superficie es irregular y se halla adherida a las cubiertas; se observa la presencia de algunas fistulas que, a la palpación, dan salida a un líquido purulento.

EXAMEN MICROSCOPICO

Pleuresia tuberculosa antigua. sínfisis pleural.

Tuberculosis pulmonar fibro caseosa del vértice del pulmón derecho; tuberculosis miliar generalizada a ambos pulmones; atelectasia del pulmón derecho, enfisema de compensación a la base del pulmón izquierdo.

Tubérculos caseificados en el Bazo.

Tuberculosis miliar mesentérica.

Orqui-epididimitis tuberculosa.

Autopsia N° 6.

A la apertura de la caja torácica se observa que todos los órganos ocupan su situación normal; no hay derrames ni adherencias.

Del lado de la cavidad abdominal, tampoco se observa nada de particular.

EXAMEN MACROSCOPICO

Pulmones, Corazón y demás órganos torácicos:

Normales.

Organos abdominales:

Normales.

Utero:

El cuerpo se halla rechazado hacia el Douglas, tiene el tamaño de la cabeza de un feto a término, la consistencia está aumentada, la superficie es regular, no existen adherencias; al corte, la cavidad uterina no presenta nada de particular.

Examinado el útero, del lado de la vagina, se encuentra un tumor voluminoso implantado en el cuello la superficie del tumor es; ulcerada y éste desprende un olor pútrido, la consistencia es dura; no existen signos de infiltración a ningún órgano, ni siquiera a las paredes vaginales.

EXAMEN MICROSCOPICO

Fibroma uterino:

Adenoma con degeneración epiteliomatosa del cuello.

Autopsia N.º 7.

A la apertura de la caja torácica se encuentran fuertes adherencias pleurales del pulmón derecho; no hay derrames.

Nada de especial en la cavidad abdominal.

EXAMEN MACROSCOPICO

Pulmón D:

Notablemente aumentado de volumen; superficie irregular; coloración roja intensa; pleura muy engrosada y de color blanquecino: Al corte, presencia de numerosos tubérculos en vía de caseificación; en el vértice se encuentra una zona dura, antracósica, que corresponde al sitio de una antigua caverna cicatrizada.

Pulmón I:

Las mismas alteraciones y, además, pequeñas cavernas en el vértice.

Aorta:

Normal.

Corazón-Pericardio:

Normales.

Higado:

Muy aumentado de volumen; consistencia disminuida; coloración ligeramente amarillenta.

Bazo:

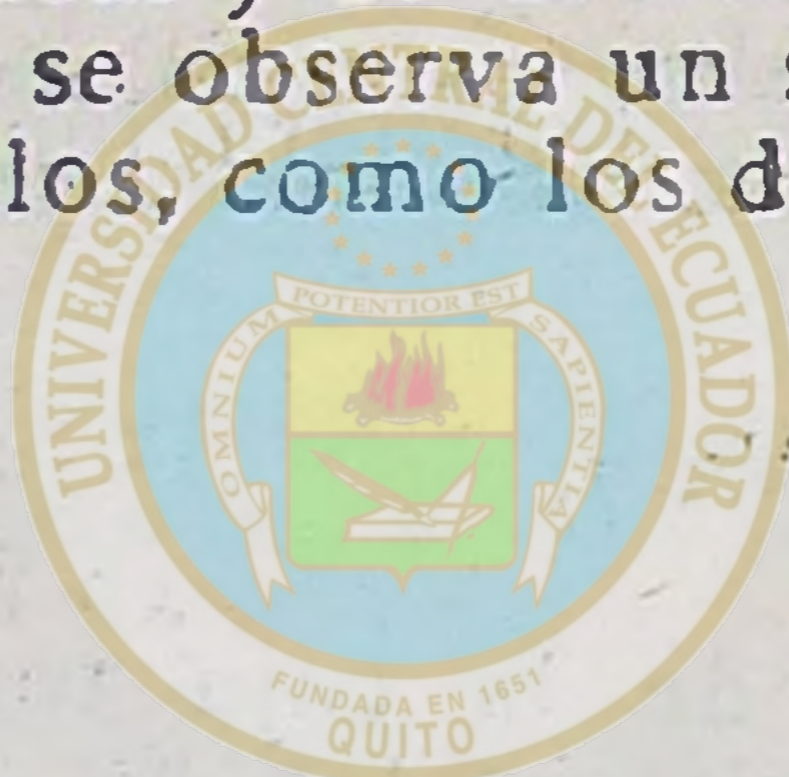
Su volumen es tres veces más grande que el del órgano normal; su consistencia aumentada por la presencia de placas blancas y duras numerosos tubérculos al periferie. Al corte, se observa un semillero de granulaciones y de tubérculos, como los de la periferie.

Riñones:

Normales.

Peritóneo:

Numerosas granulaciones.



ÁREA HISTÓRICA
DEL CENTRO DE INFORMACIÓN INTEGRAL

EXAMEN MICROSCOPICO

Pleuresia tuberculosa antigua.
Tuberculosis pulmonar fibrocaseosa.
Esclerosis pulmonar del vértice.

Higado:

Degeneración grasosa.

Bazo:

Degeneración amiloidea; tuberculosis esplénica.